

## مدل‌سازی جریان یک بعدی در آبیاری جویچه‌ای با حل عددی معادلات هیدرودینامیک کامل

### به روشنی

آیلر ابراهیم زاده<sup>۱</sup>، علی نقی ضیائی<sup>۲\*</sup>، محمد رضا جعفرزاده<sup>۳</sup>، علی اصغر پهشتی<sup>۴</sup>، ندا شیخ رضازاده نیکو<sup>۵</sup>

تاریخ پذیرش: ۹۶/۰۹/۲۵

تاریخ دریافت: ۹۵/۰۷/۰۱

۱-دانش آموخته کارشناسی ارشد سازه‌های آبی، دانشگاه فردوسی مشهد، مشهد

۲-دانشیار، گروه علوم مهندسی آب، دانشگاه فردوسی مشهد، مشهد

۳-استاد، گروه مهندسی عمران، دانشگاه فردوسی مشهد، مشهد

۴-استادیار، گروه علوم مهندسی آب، دانشگاه فردوسی مشهد، مشهد

۵-دانشجوی دکتری سازه‌های آبی، دانشگاه فردوسی مشهد، مشهد

\*مسئول مکاتبات، پست الکترونیکی: an-ziae@um.ac.ir

### چکیده

شبیه‌سازی و تسخیر ناپیوستگی‌ها در معادلات جریان‌های کم عمق بسیار حائز اهمیت است. روش‌های متعارف عددی از جمله شمای تفاضل محدود پریسمن، بدون انجام اصلاحاتی، قادر به شبیه‌سازی ناپیوستگی‌ها نمی‌باشد. روش حجم محدود با بهره گیری از حل کننده‌های ریمن، علاوه بر قابلیت حل نواحی هموار، قادر به شبیه‌سازی مطلوب ناپیوستگی‌ها نیز می‌باشد. در این پژوهش، حل کننده‌های ریمن به روش رو مرتبه دو بهمراه توابع محدود کننده برای کاهش نوسانات عمده (نسخه تی‌وی‌دی<sup>۱</sup>) برای شبیه‌سازی جریان سطحی و زیرسطحی در آبیاری جویچه‌ای بکاربرده شد. معادله یک بعدی "سنت-ونانت" در جریان سطحی و معادله کاستیاکوف-لوییس در جریان زیرسطحی مورد استفاده قرار گرفت. به تهیه یک کد در محیط فرتزن برای روش رو-تی‌وی‌دی، نتایج مدل ارائه شده با مدل تفاضل محدود مبتنی بر شمای ضمنی پریسمن و همچنین دو سری داده مزروعه‌ای (پرینتز و واکر) مقایسه و با استفاده از معیارهای ریشه میانگین مربعات خطای استاندارد ( $RMSE$ ) و ضریب تبیین ( $R^2$ ) مورد ارزیابی قرار گرفت. مشاهده شد که در کلیه مدل‌سازی‌ها، مدل رو عملکرد بهتری نسبت به مدل پریسمن داشته و بویژه در رواناب خروجی  $RMSE$  به مقدار ۶۲ درصد بهبود یافت. برتری دیگر روش رو صریح بودن آن است کاهش زمان اجرا و تسهیل در رسیدن به جواب در شرایط پیچیده را دارا می‌باشد.

واژه‌های کلیدی: آبیاری سطحی، جریان سطحی و زیر سطحی، حل کننده‌های ریمن، تی‌وی‌دی

<sup>1</sup> TVD

## Numerical Modeling of One-Dimensional Flow in Furrow Irrigation by Solving the Full Hydrodynamics Equations using Roe Approach

A Ebrahimzadeh, AN Ziae\*, MR Jafarzadeh, AA Beheshti, N Sheikh Rezazadeh Nikou

Received: 2016-09-22

Accepted: 2017-12-16

<sup>1</sup>-M.Sc. graduate, Water Science and Eng. Dept., Ferdowsi University of Mashhad, Iran

<sup>2</sup>-Asso. Prof., Water Science and Eng. Dept., Ferdowsi University of Mashhad, Iran

<sup>3</sup>-Prof., Civil Eng. Dept., Ferdowsi University of Mashhad, Iran

<sup>4</sup>-Asso. Prof., Water Science and Eng. Dept., Ferdowsi University of Mashhad, Iran

<sup>5</sup>-PhD Student, Water Science and Eng. Dept., Ferdowsi University of Mashhad, Iran

\* Corresponding Author, Email: an-ziae@um.ac.ir

### Abstract

Flow Simulation and discontinuous shock capturing are important in shallow water equations. Common numerical schemes such as finite difference Preissmann scheme, without performing some modifications, cannot simulate discontinuities. Finite volume methods using Riemann solvers by taking advantage of the characteristics of solving the smooth areas as well, have the ability to simulate discontinuities. In this paper, the second order Roe model of Riemann solver was employed by applying the limiting functions to eliminate the spurious oscillations of the numerical simulation in the surface and subsurface flows (Saint-Venant equations in surface flow and Kostiakov-Lewis in subsurface flow). A Fortran code was developed for Roe-TVD method, the presented model was evaluated using the Preissmann scheme (an implicit finite difference scheme) and two sets of field data (Printz-323 and Walker) based on Root Mean Square Error (RMSE), Standard Error (SE) and Determination Coefficient ( $R^2$ ). It was concluded that Roe model showed better results comparing to the Preissmann scheme in all of the simulations, particularly in outgoing runoff, RMES was improved up to 62%. The applied model was an explicit method and reduced running time and had the ability of application under different field conditions.

**Keywords:** Numerical modeling, Riemann solver, Surface irrigation, Surface and Subsurface flow, TVD

تغییر ناگهانی وضعیت آن، بسیار پیچیده است، بنابراین روش‌های عددی متعارف نظریه مدل چهار نقطه‌ای پریسمن قادر به مدل سازی جریان با دقت بالا نیستند. استفاده از روش‌های غیر نوسانی حجم محدود در حل معادلات جریان کم عمق موضوع پژوهش مطالعات فراوانی بوده است که برتری آن را در مدل سازی محدود و سیعی از جریان‌های زیربحراتی و فوق بحرانی حتی در بسترهاخی خشک نشان می‌دهد (فیسر و همکاران ۲۰۱۶). این روشها به خاطر صریح بودن بینیاز از حل دستگاه بوده و برای اعداد کورانت کمتر از یک پایدار می‌باشند (ساندرز ۲۰۰۲). لذا در این مقاله نیز به استفاده از این روش‌ها در آبیاری سطحی پرداخته می‌شود.

### مقدمه

سامانه‌های آبیاری سطحی سهم عده‌ای را در کشاورزی فاریاب در سراسر جهان در بر می‌گیرند و کیفیت اجرای این سامانه‌ها به شدت وابسته به مراحل مختلف طراحی آنها است. معادلات حاکم بر جریان‌های غیردائمی، شامل معادلات پیوستگی و اندازه حرکت است که به معادلات سنت-ونانت<sup>1</sup> معروف است. با توجه به غیرخطی بودن این معادلات، حل تحلیلی آنها محدود به حالات ساده و یا مستلزم حذف پارامترهای مهم معادلات است، از این رو در حالات عمومی از روش‌های عددی به عنوان ابزاری سودمند برای حل معادلات مذکور استفاده می‌شود. از طرف دیگر شبیه‌سازی موقعیت جریان بعلت

<sup>1</sup> Saint -Venant

نتاج عددی و آزمایشگاهی در هریک از حالت‌های انتقال موج شکست سد دایروی با حل تحلیلی مقایسه شده است که بر هم منطبق بوده‌اند. زریهان و همکاران (۲۰۱۴) به مدل‌سازی جریان و انتقال املاح در آبیاری جویچه‌ای پرداختند. ایشان با کاربرد روش اینرسی صفر به مدل‌سازی هیدرولیک جریان و انتقال املاح پرداخته‌اند. برای واسنجی مدل، نتایج عددی جریان زیرسطحی را با نرم‌افزار دوبعدی هایدروس<sup>۱</sup> مقایسه و نتایج انتقال املاح را با حل تحلیلی آن مقایسه کرده‌اند. در نهایت، نتایج عددی و آزمایشگاهی را مقایسه نموده‌اند.

لذا عده مطالعات قبلی مدل‌سازی جریان در آبیاری جویچه‌ای مبتنی بر فرم‌های ساده شده معادلات حاکم بوده و یا معادلات هیدرودینامیک کامل نیز با استفاده از روش‌های ضمنی تفاضلات محدود حل شده است که همگرایی آنها در شرایط واقعی همراه با محدودیت است. در این پژوهش با استفاده از روش‌های مبتنی بر حل کننده‌های ریمن که صریح بوده، و جبهه موج را با دقت بیشتری مدل‌سازی می‌کنند برای مدل‌سازی جریان در آبیاری جویچه‌ای استفاده می‌شود. با استفاده از این روش‌ها، محدودیت‌های حل کاوش یافته و نیازی به تمهدیات خاصی برای فرآیندهای پیشروی و پسروی جبهه جریان در آبیاری جویچه‌ای نیست. عملکرد مدل رو و پریسمن در این نوع آبیاری با یکدیگر و با مقادیگر اندازه گیری شده مقایسه می‌گردد.

## مواد و روش‌ها

### معادلات حاکم

معادلات حاکم بر جریان آب در آبیاری جویچه‌ای، معادلات یک بعدی جریان کم عمق یا همان معادلات معروف سنت ونانت می‌باشد. برای مدل‌سازی جریان زیرسطحی نیز از معادله کوستیاکوف-لوئیس استفاده شد.

#### مدل هیدرودینامیک کامل

فرم ابتدی معادلات "سنت - ونانت" با در نظر گرفتن نفوذ به ترتیب زیر می‌باشدند (لای ۱۹۸۶):

الیوت و همکاران (۱۹۸۲) برای شبیه‌سازی پیشروی جریان در جویچه، از مدل اینرسی صفر استفاده کردند و مقدار نفوذ را از معادله کاستیاکوف-لویس به دست آورده‌اند، نتایج آن‌ها نشان داد که مدل اینرسی صفر، مرحله پیشروی را در آبیاری جویچه‌ای به خوبی شبیه‌سازی می‌کند. عباسی و همکاران (۱۳۷۶) برای شبیه‌سازی مراحل مختلف آبیاری نواری، از مدل اینرسی صفر استفاده کرده و معادلات حاکم بر جریان را با استفاده از روش تفاضل محدود و به صورت غیر صریح حل کردند، نتایج آن‌ها نشان داد که حذف ترم‌های شتاب در معادله مومنتم تأثیر معنی‌داری روی نتایج مدل نداشت و مدل آن‌ها زمان‌های پیشروی، پسروی و حجم آب نفوذ یافته را با دقت خوبی تخمین می‌زند، اما حجم رواناب را کمتر از مقدار واقعی برآورد می‌کند. برادرورد و نیکلاس (۲۰۰۱) از مدل عددی هیدرودینامیک کامل به روش روجهت شبیه‌سازی زمان پیشروی و نفوذ آب در آبیاری کرتی در دو بعد استفاده کردند. امینی‌زاده و همکاران (۱۳۸۵) از مدل اینرسی صفر برای شبیه‌سازی آبیاری جویچه‌ای با گام‌های مکانی ثابت و تأثیر محیط خیس شده در محاسبه نفوذ، با این فرض که محیط خیس شده تابعی از سطح مقطع جریان است، استفاده کردند. بیک زاده و همکاران (۱۳۹۲) از مدل چهار نقطه‌ای پریسمن برای مدل‌سازی جریان سطحی و زیرسطحی در آبیاری جویچه‌ای استفاده کردند، آنها مشاهده کردند که مدل پریسمن عملکرد مشابه با مدل سیموراد<sup>۲</sup>(مدل شبیه‌سازی آبیاری سطحی) دارد. یوآن و همکاران (۲۰۱۲) با کاربرد مدل حجم محدود و استفاده از حل-کننده رو جریان سطحی و زیرسطحی را بصورت یک بعدی کوپل کردند. ایشان در ابتدا برای واسنجی مدل، حالت شکست سد را اجرا و نتایج آن را با نتایج تحلیلی مقایسه کرده به مطالعه جریان جذرومد در امتداد خاکریز پراختند.

روزتی و بگنودلی (۲۰۱۳) از روش عددی حل-کننده عمومی رو برای مدل‌سازی دوبعدی جریان سطحی به صورت دوفازه بر روی بستر متحرک استفاده کردند.

<sup>۱</sup> HYDRUS

<sup>2</sup> SIRMOD

در روش‌های حجم محدود محاسبه شارهای عددی بسیار مهم است که در ادامه به آن پرداخته می‌شود. شار عددی در روش رو-تی‌وی‌دی برای معادلات جریان‌های کم عمق به صورت صریح با استفاده از تکنیک متکی به بالادست، مطابق معادله ۶ به دست می‌آید (گلایستر ۱۹۸۸).

$$\begin{aligned} F_{i+\frac{1}{2}}^{RoeTVD} = & 0.5[F_i - F_{i+1}] - 0.5 \sum_{k=1}^2 (\tilde{\alpha}_{i+\frac{1}{2}}^k \left| \lambda_{i+\frac{1}{2}}^k \right| \tilde{R}_{i+\frac{1}{2}}^k) + \\ & 0.5 \sum_{k=1}^2 \varphi(\tilde{r}_{i+\frac{1}{2}}^k) \tilde{\alpha}_{i+\frac{1}{2}}^k \left| \lambda_{i+\frac{1}{2}}^k \right| \left( 1 - \frac{\Delta t}{\Delta x} \left| \lambda_{i+\frac{1}{2}}^k \right| \right) \tilde{R}_{i+\frac{1}{2}}^k \end{aligned} \quad [6]$$

در این رابطه  $\varphi(r)$  تابع محدودکننده است. اگر  $\varphi(r) = 0$  باشد، مدل مرتبه اول متکی به بالادست<sup>۱</sup> حاصل می‌شود و در صورتی که  $\varphi(r) = 1$  باشد، مدل مرتبه دوم لакс-وندروف به دست می‌آید. چنانچه  $\varphi(r)$  با توابع مختلف محدودکننده جایگزین شود، مدل نوع تی‌وی‌دی روش رو حاصل می‌شود. ملاحظه شد که روش رو با محدودکننده به طور نسبی کمترین مقدار ریشه میانگین مربعات خطأ (RMSE) را برای عمق و سرعت جریان به همراه داشته و عملکرد بهتری را نشان می‌دهد که در مدل‌سازی حاضر از روش مذکور استفاده شده است.

$$\varphi(r) = \max[0, \min(2r, 1), \min(r, 2)] \quad \text{و}$$

$$r_i = \frac{\Delta U_i^n}{\Delta U_{i+\frac{1}{2}}^n} \quad [7]$$

$A = \frac{\partial F(U)}{\partial x}$  مقادیر ویژه ماتریس ژاکوبی بردار شار (Roe) بردارهای ویژه راست ماتریس  $A$  و  $\alpha$  ضرایب خطی است که به صورت روابط ذیل تخمین زده می‌شود.

$$\tilde{\alpha}_{i+\frac{1}{2}}^{1,2} = \frac{1}{2} \pm \frac{1}{2c} \{ A(uh) - u \cdot \Delta h \} \quad [8]$$

برای افزایش دقت محاسبات و از بین بردن نوسانات ناخواسته گام پیش‌بینی به مراحل محاسباتی افزوده شده است. به واسطه این مرحله معادلات سنت-ونانت به صورت ساده شده پیش‌بینی شده و در گام تصحیح

$$U_t + F_x + S = 0 \quad [1]$$

$$U = \begin{pmatrix} h \\ uh \end{pmatrix}, \quad F = \begin{pmatrix} uh \\ u^2 h + 0.5 g h^2 \end{pmatrix}, \quad S = \begin{pmatrix} i \\ -gh(S_0 - S_f) \end{pmatrix} \quad [2]$$

در معادلات فوق  $u$  سرعت جریان ( $m s^{-1}$ ),  $h$  عمق جریان ( $m$ ),  $i$  شدت نفوذ ( $m s^{-1}$ ),  $S_0$  شبکه کف کanal ( $m m^{-1}$ ),  $S_f$  شبکه اصطکاکی ( $m m^{-1}$ ),  $x$  (زمان ( $s$ )) و  $g$  شتاب جاذبه ( $m s^{-2}$ ) می‌باشد.

### معادله نفوذ کاستیاکوف-لوییس

برای تعیین نفوذ آب به داخل خاک از معادله کاستیاکوف-لوییس استفاده شد (انصاری ۱۳۹۰):

$$Z = k \tau^\alpha + f_0 \quad [3]$$

که در آن،  $Z$  نفوذ تجمعی در واحد سطح ( $m$ ),  $f_0$  سرعت نفوذ نهایی (بر حسب  $(m^3 m^{-1} min^{-1})$  در جویچه و  $(m^3 m^{-2} min^{-1})$  در کرت و نوار),  $k$  و  $\alpha$  ضریب معادله هستند و  $\tau$  فرصت زمانی نفوذ ( $s$ ) است (علیزاده ۱۳۸۵).

نرخ نفوذ نیز به صورت زیر تعریف می‌شود:

$$i = \frac{dZ}{dt} = \alpha k \tau^{\alpha-1} + f_0 \quad [4]$$

که در آن  $i$  میزان نرخ نفوذ ( $m s^{-1}$ ) است.

### روش عددی رو-تی‌وی‌دی

برای حل معادلات سنت-ونانت از روش حجم محدود استفاده شده است. شکل کلی حل معادلات با این روش به صورت زیر نوشته می‌شود (تورو ۲۰۰۱):

$$U_i^{n+1} = U_i^n - \frac{\Delta t}{\Delta x} [F_{i+\frac{1}{2}}^n - F_{i-\frac{1}{2}}^n] + \Delta t \cdot S_i^n \quad [5]$$

در معادله فوق:  $U_i^n$ ، بردار متغیر وابسته (معادله ۱) در گام زمانی  $n$ ،  $[F_{i+\frac{1}{2}}^n \mp F_{i-\frac{1}{2}}^n]$  بردار شارهای عددی بین سلولی ورودی و خروجی سلول محاسباتی،  $\Delta t$  و  $\Delta x$  گام زمانی و مکانی و  $S_i^n$  بردار جملات منبع است.

<sup>1</sup> Upwind

باز باشد، جریان بر طبق معادله مانینگ از انتهای زمین خارج شده و بنابراین شرط مرزی پایین دست به این صورت تغییر خواهد کرد:

$$Q_N = a A_N^b \quad [12]$$

که در آن  $N$  شماره آخرین گره محاسباتی (انتهای زمین) است و  $a$  و  $b$  برای جریان یکنواخت (معادله مانینگ) و با شرایط انتهایی باز به صورت زیر تعریف می‌شود:

$$a = \frac{\sqrt{\rho_1 S_0}}{n} \quad [13]$$

$$b = \frac{\rho_2}{2} \quad [14]$$

در معادلات بالا  $\rho_1$  ضریب زبری مانینگ،  $\rho_2$  ضرایب مربوط به شکل مقطع جویچه می‌باشد (واکر ۲۰۰۳).

#### شروع مرحله پیشروی

پس از اتمام مرحله ذخیره، محاسبات مذکور تا زمانی که سطح مقطع جریان در آخرین نقطه از زمین به پنج درصد (یا کمتر) مقداری از آن در فاصله شروع جریان تا زمان قطع آن برسد، ادامه خواهد داشت.

در این پژوهش با تولید یک کد در محیط فرتون تهیه شده تا با استفاده از حل کننده‌های ریمن به روش رو-تی وی دی با دقت مرتبه دوم، برای شبیه‌سازی جریان سطحی و زیرسطحی با اعمال تابع محدود کننده برای حذف نوسانات غیرفیزیکی مدل‌سازی آبیاری جویچه‌ای صورت پذیرد. برای ارزیابی و بررسی دقت و صحت مدل ارائه شده، دو سری داده مزروعه‌ای مورد استفاده قرار گرفت که در ادامه مشخصات هر کدام از آن‌ها شرح داده می‌شود. برای این منظور از جویچه‌ای به شکل ۱ استفاده می‌شود. مقادیر  $T_{mid}$ ،  $T_{max}$  و  $Base$  در شکل ۱ به ترتیب عرض سطح جویچه، عرض میانی جویچه، عرض کف جویچه و ارتفاع جویچه می‌باشد. برای مقایسه کارایی مدل مبتنی بر روش رو، نتایج آن با مقادیر بدست آمده از روش پریسمن (بیک زاده و همکاران ۱۳۹۳) نیز مقایسه گردید.

اصلاح می‌شوند. در گام پیش‌بینی زمان محاسباتی نصف شده و متغیر وابسته  $U_i$  از معادله ۹ محاسبه می‌گردد.

$$U_i^{k+\frac{1}{2}} = U_i^k - \frac{\Delta t}{2\Delta x} (F_{i+\frac{1}{2}}^k - F_{i-\frac{1}{2}}^k) + \frac{\Delta t}{2} \left[ (S_0)_i^k - \frac{1}{2} (S_f)_i^k - \frac{1}{2} (S_f)_i^{k+\frac{1}{2}} \right] \quad [9]$$

در مرحله تصحیح مقادیر سرعت و مساحت در گام زمانی جدید از معادله ۱۰ محاسبه می‌شود.

$$U_i^{k+1} = U_i^k - \frac{\Delta t}{2\Delta x} (F_{i+\frac{1}{2}}^{k+\frac{1}{2}} - F_{i-\frac{1}{2}}^{k+\frac{1}{2}}) + \frac{\Delta t}{2} \left[ (S_s)_i^k - (S_s)_i^{k+1} \right] \quad [10]$$

$$S_s = \begin{pmatrix} -i \\ gA(S_0 - S_f) \end{pmatrix} \quad [11]$$

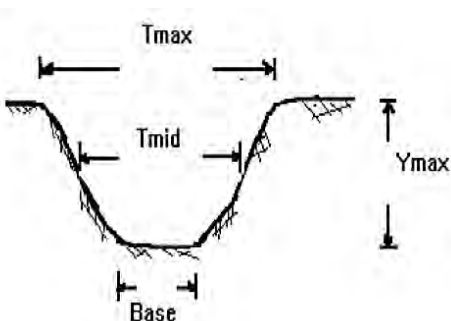
محاسبات عددی نشان داده است که روش مرتبه اول ممکن است با الادست، باعث میرایی پیشانی موج می‌شود و با اضافه نمودن جملات مرتبه دوم (مدل لاسک-وندروف<sup>۲</sup>) نوسانات غیرفیزیکی در مجاورت موج جریان تولید می‌شود، اما استفاده از مدل رو-تی وی دی با حذف نوسانات به شکل مطلوبی قادر به شبیه‌سازی جریان است (قزل سوپلو و جعفرزاده ۱۳۸۳).

**حل عددی توأم جریان سطحی و زیرسطحی**  
حل معادلات ۱ و ۲، پروفیل‌های سطحی و زیرسطحی جریان در طول فرآیند آبیاری که به ترتیب شامل مراحل پیشروی، ذخیره و پیشروی است را توصیف می‌کند. اما حل این معادلات بعد از اتمام هر مرحله با توجه به تغییر شرایط مرزی بالادست و پایین دست، متفاوت می‌شود (واکر ۱۹۸۹).

**شرایط مرزی جریان در طول مرحله پیشروی**  
در قسمت ورودی زمین (بالادست مزرعه) دبی ورودی، توسط آبیار کنترل می‌گردد، و همچنین دبی ورودی در مرحله پیشروی ثابت بوده و تغییرات آن صفر است. در انتهای زمین (پایین دست مزرعه)، عمق جریان در طول مرحله پیشروی صفر است.

**آغاز مرحله مرتبط شدن یا مرحله ذخیره**  
زمانی که جریان به انتهای زمین برسد، شرایط مرزی پایین دست متفاوت خواهد بود. اگر انتهای جویچه

<sup>۲</sup> Lax- Wendroff



شکل ۱- شکل کلی مقطع عرضی از یک جویچه.

## داده‌های آزمایشگاهی

## داده‌های مزرعه‌ای پرینتزر-۳۲۳ (ردی ۱۹۸۹)

آبیاری پرینتزر-۳۲۳ نیز توسط الیوت (۱۹۸۰) انجام شده و مشخصات کامل آن در جدول ۱ مشاهده می‌شود که از تحقیق ردی (۱۹۸۹) استخراج شده است.

## داده‌های مزرعه‌ای واکر (۱۹۸۹)

مشخصات این آبیاری از مثال طراحی نرم افزار SIRMOD استخراج و به دلیل کامل بودن داده‌های پیشروی و پسروی، مورد استفاده قرار گرفت. جزئیات مربوط به مشخصات این آبیاری در جدول ۱ آورده شده است.

جدول ۱- پارامترهای ورودی مزارع آبیاری واکر (۱۹۸۹) و پرینتزر (ردی ۱۹۸۹).

پارامترهای مربوط به مشخصات مزرعه	مزرعه آبیاری واکر (۱۹۸۹)	مزرعه آبیاری پرینتزر	پارامترهای مربوط آبیاری پرینتزر
$(m^3 \text{ min}^{-1}) q_0$ : دبی ورودی	۰/۱۲	۰/۲۱	
$(m m^{-1}) S_0$ : شبک	۰/۰۰۸۰	۰/۰۰۲۵	
$(-) n$ : ضریب مانینگ	۰/۰۴	۰/۰۲	
$(m) l$ : طول جویچه	۳۶۰	۳۵۰	
$(\text{min}) t_{cut}$ : زمان قطع جریان	۴۸۰	۱۱۰	
$(-) k$ : ضریب معادله	۰/۰۰۲۸	۰/۰۱۲۵	
$(-) a$ : ضریب معادله	۰/۵۳۴	۰/۰۲۴	
$(m^3 m^{-1} \text{ min}^{-1}) f_0$ : ضریب معادله	۰/۰۰۰۲۲	۰/۰۰۰۵۰	
$(-) \sigma_1$ : ضریب شکل هندسی جویچه	۰/۵۰۸	۰/۹۵۳	
$(-) \sigma_2$ : ضریب شکل هندسی جویچه	۱/۵۵۴	۱/۳۳۳	
$(-) \rho_1$ : چنریب هیدرولیکی جویچه	۰/۳۳	۰/۶۲	
$(-) \rho_2$ : چنریب هیدرولیکی جویچه	۲/۷۱	۲/۹۲	
$(m) w$ : فاصله‌ها	۰/۷۶	۱/۵۲	

دقت استفاده شد. این معیارها به صورت زیر تعریف

می‌شوند:

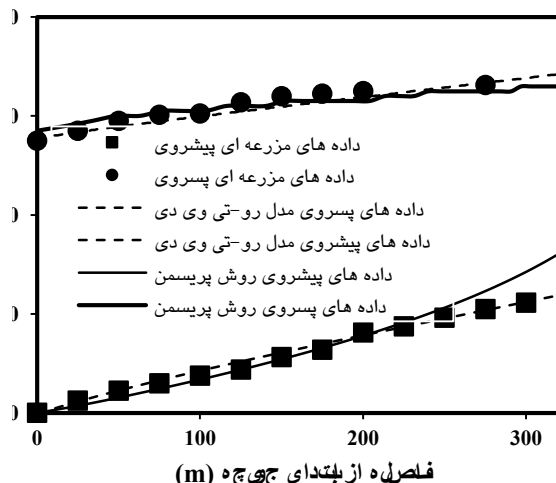
$$RMSE = \sqrt{\frac{\sum_{i=1}^n (o_i - p_i)^2}{n}} \quad [18]$$

$$SE = \sqrt{\frac{1}{n} \sum_{i=1}^n (o_i - p_i)^2} \quad [19]$$

## شاخص‌های ارزیابی مدل

برای مقایسه مقادیر شبیه‌سازی شده و اندازه‌گیری شده و ارزیابی دقیق‌تر مدل، از معیارهای ریشه میانگین مربعات خطأ ( $RMSE$ ) و خطای استاندارد ( $SE$ ) به عنوان معیار صحت و ضریب تعیین ( $R^2$ ) که در مسائل آبیاری مزارع و مدل‌های مربوطه (عنوان مثال: باتیستا و همکاران ۲۰۱۰، ابراهیمیان و لیاقت ۲۰۱۱، اعتدالی و همکاران ۲۰۱۱) متداول است، به عنوان معیار

مدل ارائه شده در هر دو مرحله عملکرد بهتری را نشان می‌دهد.



شکل ۲ - مقایسه‌ی نتایج پیشروی حاصل از مدل رو-تی وی دی با

#### دل پریسمن و داده‌های مزرعه‌ای پرینت-۳۲۳-

در شکل‌های ۵ و ۶ مقادیر خطای پیشروی، پسروی و رواناب حاصل از دو مدل رو-تی وی دی و پریسمن نشان داده است. ملاحظه می‌شود خطای داده‌های مزرعه‌ای واکر (۱۹۹۸) بسیار کمتر از خطای داده‌های مزرعه‌ای پرینت-۳۲۳ است. دلیل بهبود نتایج در مدل رو-تی وی دی را باید در ماهیت احجام محدود آن جستجو کرد. از آنجایی که در روشن حجم محدود از فرم ابقایی معادلات استفاده شده و در هر حجم کنترل (سلول محاسباتی) معادله پیوستگی ارضاء می‌شود لذا نتایج آن به واقعیت نزدیکتر است. از طرف دیگر صریح بودن روشن رو-تی وی دی و مرتبه خطای قطع مرتبه دو و همچنین جلوگیری از نوسانی شدن حل باعث بهبود نتایج با استفاده از این روشن گردیده است.

$$R^2 = \frac{\left( \sum_{i=1}^n (o_i - \bar{o})(p_i - \bar{p}) \right)^2}{\sum_{i=1}^n (o_i - \bar{o})^2 \times \sum_{i=1}^n (p_i - \bar{p})^2}$$

[۲۰]

که در معادلات ۱۸ تا ۲۰،  $n$  تعداد داده‌ها،  $o_i$ ،  $i$  امین مقدار داده اندازه‌گیری شده یا مشاهده شده،  $P_i$ ،  $\bar{o}$  امین مقدار داده پیش‌بینی شده،  $\bar{P}$  میانگین مقادیر پیش‌بینی شده و  $\bar{o}$  میانگین مقادیر اندازه‌گیری شده است.

#### نتایج و بحث

در این بخش ابتدا با استفاده از دو سری اطلاعات آبیاری که قبلاً معرفی شد، به ارزیابی مدل پیشنهادی پرداخته و نتایج مدل در تمامی داده‌های مزرعه‌ای با مدل حاصل از روشن پریسمن نیز مقایسه می‌گردد.

#### داده‌های مزرعه پرینت-۳۲۳-

نتایج شبیه‌سازی مراحل پیشروی و پسروی در این سری از داده‌ها شکل ۲ نشان داده شده است. همان‌طور که ملاحظه می‌شود، مدل رو-تی وی دی تطابق بهتری در مرحله پیشروی و پسروی با داده‌های مزرعه‌ای دارد.

با توجه به مقادیر خطای شبیه‌سازی در آبیاری پرینت-۳۲۳ که در جدول ۲ آورده شده است، می‌توان مشاهده کرد که خطای مدل پیشنهادی در مقایسه با پریسمن کمتر و صحت مدل رو-تی وی دی بیشتر از مدل پریسمن است.

#### داده‌های مزرعه واکر (۱۹۸۹)

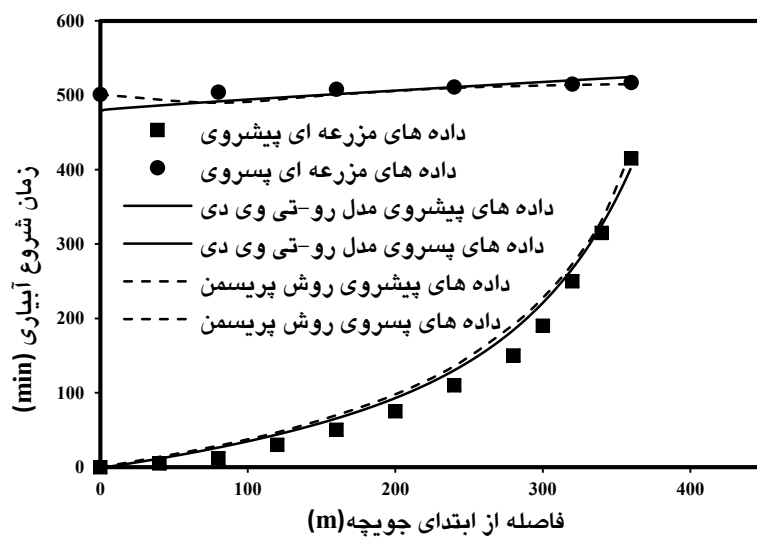
با توجه به شکل‌های ۳ و ۴ جریان شبیه‌سازی شده توسط مدل پیشنهادی نسبت به مدل پریسمن تطابق بهتری با داده‌های واقعی دارد. همان‌طور که در جدول ۳ نشان داده شده است، مقادیر خطای پیشروی و پسروی نسبت به مدل حاصل از مدل پریسمن کاهش پیدا کرده و

جدول ۲- شاخص‌های آماری در آبیاری پرینتر-۳۲۳.

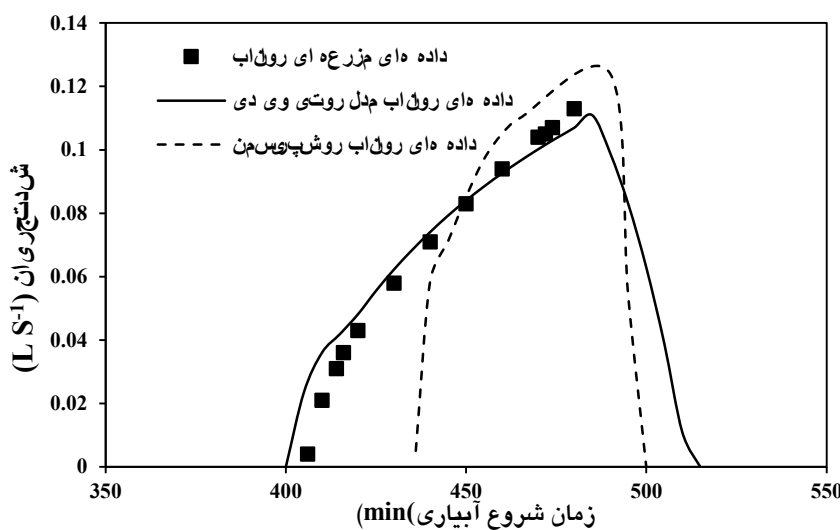
شاخص آماری	خطای استاندارد ( $SE$ )	خطای ریشه میانگین مربعات ( $RMSE$ )	ضریب همبستگی ( $R^2$ )	مدل رو	مدل پریسمن	پیشروی پسروی	پیشروی پسروی
	۰/۰۱۹	۰/۱۸۷	۰/۹۸۳	۰/۰۲۲	۰/۰۲۲	۰/۱۹	
	۲/۱۲۱	۵/۷۶۳	۰/۹۸۶	۲/۷۲۰	۵/۷۶۷		
							(min)

جدول ۳- شاخص‌های آماری در آبیاری واکر (۱۹۸۹).

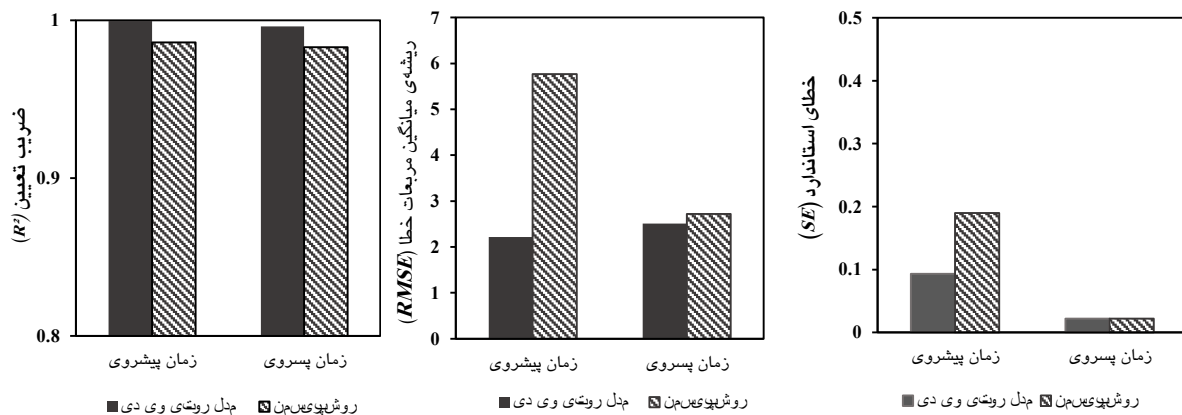
شاخص آماری	خطای استاندارد ( $SE$ )	خطای ریشه میانگین مربعات ( $RMSE$ )	ضریب همبستگی ( $R^2$ )	روش رو	مدل پریسمن	پیشروی پسروی	پیشروی پسروی	رواناب
	۰/۱۲۳	۰/۰۰۹	۰/۹۹۹	۰/۰۲۳	۰/۰۰۹	۰/۳۶۰	۰/۱۵۲	۰/۰۳۱
	۰/۰۰۸	۴/۳۷۲	۰/۹۹۴	۰/۹۹۹	۰/۹۹۹	۵/۳۸۹	۶/۵۶۷	۵/۹۹۸



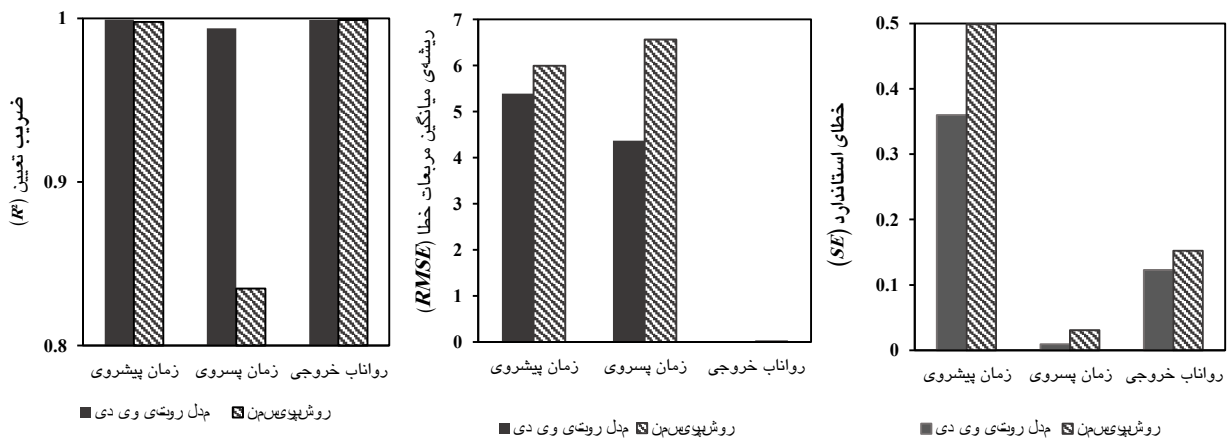
شکل ۳- مقایسه نتایج پیشروی و پسروی حاصل از مدل رو-تی وی دی با پریسمن و داده‌های مزرعه‌ای واکر (۱۹۸۹).



شکل ۴- مقایسه نتایج رواناب خروجی مدل رو-تی وی دی با مدل پریسمن و داده‌های مزرعه‌ای واکر(۱۹۸۹).



شکل ۵- مقادیر خطای پیشرونده و پسروی دو مدل رو-تی وی دی و پریسمن برای آبیاری پرینت-۳۲۳.



شکل ۶- مقادیر خطای پیشرونده، پسروی و رواناب دو مدل رو-تی وی دی و پریسمن برای آبیاری رواناب(۱۹۸۹).

مقایسه نتایج با مقادیر اندازه‌گیری شده پیشرونده، پسروی و رواناب خروجی نشان داد که استفاده از روش غیرنوسانی و صریح رو-تی وی دی با تابع محدودکننده

**نتیجه‌گیری کلی**  
در این مقاله، از روش احجام محدود برای مدل-سازی جریان آب در آبیاری جویچه‌ای استفاده شد.

شده را با دشواری همراه می‌سازد. در حلی که مدل پیشنهادی در این تحقیق با قابلیت مدل‌سازی در بستر خشک بدون نیاز به تمهیدات خاص امکان مدل‌سازی مناسب پیشروی و پسروی را فراهم ساخت. با افزایش زمان پیشروی، خطای شبیه‌سازی افزایش یافت که دلیل آنرا باید در مطلوب نبودن پارامترهای معادله نفوذ انتخاب شده دید و از طرف دیگر هرچه پارامترهای ورودی مزرعه با دقت و یکنواختی بیشتری اعمال گردند، عملکرد مدل بهبود خواهد یافت.

سوپریبی به خوبی می‌تواند برای مدل‌سازی این جریان استفاده شود. مقایسه نتایج مدل با روش تفاضل محدود با شماتی پریسمن نیز برتری این مدل را نشان داد. برتری این مدل را باید منتبث به صریح بودن شماتی عددی، ارتفاع بقای جرم (معادله پیوستگی) در هر سلول محاسباتی، خطای قطع مرتبه دوم و جلوگیری از نوسانات نامطلوب در جبهه پیشروی و پسروی موج دانست. در روش تفاضل محدود و ضمنی پریسمن برای شبیه‌سازی جبهه پیشروی باید سلول‌های مثبتی در پیشانی جبهه در نظر گرفت که حل دستگاه معادلات تولید

#### منابع مورد استفاده

- Abbasi F, Mahmodian-Shoshtari M and Pazira A, 1997. Zero Inertia Model for Estimation of Design Parameters in Border Irrigation. Iranian Journal of Agricultural Science, 28(3): 59-68.
- Alizadeh A, 2006. Designing Irrigation Systems (1<sup>st</sup> volume: Designing Surface Irrigation Systems). Publication of Imam Reza university, Mashhad.
- Aminizadeh S M R, Liaghat A, Mahmodian-Shoshtari M and Kouchakzadeh S, 2006. An Explicit Scheme of Zero-Inertia Model Equations with Effectiveness of Wetted Perimeter for Furrow Irrigation Simulation. Journal of Quarterly Agricultural Research 6(3): 1-16.
- Ansari H, 2011. Surface Irrigation, Evaluation, Designing and Simulation. 1<sup>st</sup> edition, Jahad Daneshgahi Publication of Mashhad, Mashhad.
- Behbahani M R and Babazadeh H, 2005. Field Evaluation of Surface Irrigation Model (SIRMOD)(Case study in Furrow Irrigation) Journal of Agricultural Science and Natural Resources 12(2): 1-10.
- Beykzadeh E, Ziae A N, Davari K and Ansari H, 2014. Optimization Of Inflow Rate And Cutoff Timeusing The Full Hydrodynamic Model. Iranian Journal of Irrigation and Drainage, 8(2): 377-385.
- Bradford F and Nikolaos D, 2001. Finite volume model for non-level Basin irrigation. Journal of Irrigation and Drainage Engineering 127: 216-223.
- Bautista E, Zerihun D, Clemmens AJ and Strelkoff TS, 2010. External iterative coupling strategy for surface-subsurface flow calculations in surface irrigation. Journal of Irrigation and Drainage Engineering 136: 692-703.
- Ebrahimian H and Liaghat A, 2011. Field evaluation of various mathematical models for furrow and border irrigation systems. Soil and Water Research 6: 91-101.
- Elliott RL, 1980. Furrow irrigation field evaluation data. Colorado State University, Fort Collins, Colorado.
- Cited by Reddy M J. 1989. Integral equation solutions to surface irrigation, Journal of Agricultural Engineering Research, 42(4):251-265.
- Elliott RL, Walker, WR, and Skogerboe GV, 1982. Zero-inertia modeling of furrow irrigation advance. Journal of Irrigation and Drainage Engineering 108: 179-195.
- Etedali RH, Ebrahimian H, Abbasi F and Liaghat A, 2011. Evaluating models for the estimation of furrow irrigation infiltration and roughness. Spanish Journal of Agricultural Research 9: 641-649.
- Fişer M, Özgen I, Hinkelmann R and Vimmr J, 2016. A mass conservative well-balanced reconstruction at wet/dry interfaces for the Godunov-type shallow water model. International Journal for Numerical Methods in Fluids 82 (12): 893–908.
- Ghezelsofloo A, 2005. Numerical Modeling of Shocks' Behavior in Shallow Flows using Advanced Finite Volume Method, Ph.D. Thesis, Faculty of Engineering, Ferdowsi University of Mashhad.
- Glaister P, 1988. Approximate Riemann solutions of the shallow water equation. Journal of Hydraulic Research 26: 293-306.

- Lai C, 1986. Numerical Modeling of Unsteady Open Channel Flow. *Advances in Hydroscience*, Vol. 14. Academic Press, USA, 161–333.
- Reddy MJ, 1989. Integral equation solutions to surface irrigation. *Journal of Agricultural Engineering Research* 42: 251-265.
- Rosatti G and Begnudelli L, 2013. A closure-independent Generalized Roe solver for free-surface, two-phase flows over mobile bed. *Journal of Computational Physics* 255: 362–383.
- Sanders BF, 2002. High-resolution and non-oscillatory solution of the St. Venant equations in non-rectangular and non-prismatic channels. *Journal of Hydraulic Research* 39(3): 321-330.
- Toro EF, 2001. Shock-Capturing Methods for Free-Surface Shallow Flow. John Wiley & Sons LTD, United Kingdom.
- Toro EF, 2009. Riemann Solvers and Numerical Methods for Fluid Dynamics. A Practical Introduction 3<sup>rd</sup> Edition, Springer, London.
- Walker WR, 1989. SIRMOD a model of surface irrigation. User's manual, Utah State University, Logan, Utah.
- Walker WR and Humphreys AS, 1983. Kinematic-Wave furrow irrigation model. *Journal of Irrigation and Drainage Engineering* 109: 377-392.
- Walker WR, 2003. SIRMOD III surface irrigation design, evaluation and simulation software, user's guide and technical documentation. Utah State University, Logan, Utah.
- Yuan B, Yuan D, Sun J and Tao J, 2012. A finite volume model for coupling surface and subsurface flows. *Journal of Procedia Engineering* 31: 62 – 67.
- Zerihun D, Sanchez CA, Lazarovitch N, Warrick AW, Clemmens AJ and Bautista E, 2014. Modeling flow and solute transport in irrigation furrows. *Journal of Irrigation & Drainage Systems Engineering* 3(2):1-16.